

# 第五章 基本放大电路

## —— 5.5 放大电路的频率特性

李泳佳

东南大学电子系国家ASIC工程中心

yongjia.li@outlook.com



# 第五章内容

5.1 放大电路的组成及技术指标

5.2 放大电路的分析方法

5.3 放大电路的稳定偏置

5.4 各种基本组态放大电路的分析与比较

**5.5 放大电路的频率相应**

5.6 一般组合放大电路





# 5.5 放大电路的频率特性

## 本节内容

5.5.1 概述

5.5.2 RC 电路的频率响应

5.5.3 三极管的高频参数

5.5.4 共射放大电路的频率特性

5.5.5 场效应三极管高频小信号模型



## 5.5.1 概述

### ✓ 频率响应:

- 放大器的电压放大倍数与频率的关系
  - 幅频特性：输入信号幅度固定，输出的幅度随频率变化而变化的规律

$$|A| = \left| \frac{U_o}{U_i} \right| = f(\omega)$$

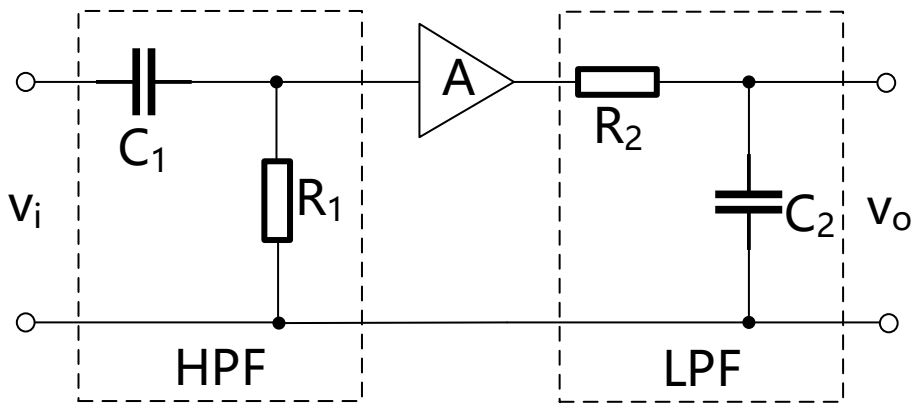
- 相频特性：输出信号与输入信号之间相位差随频率变化而变化的规律

$$\angle A = \angle U_o - \angle U_i = f(\omega)$$

## 5.5.1 概述

### ✓ 通频带:

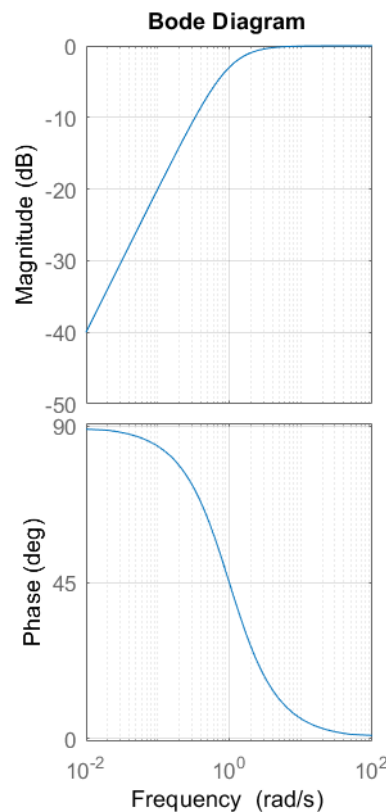
- 加入放大器，增益为A
- 表征放大器工作带宽



% MATLAB code:

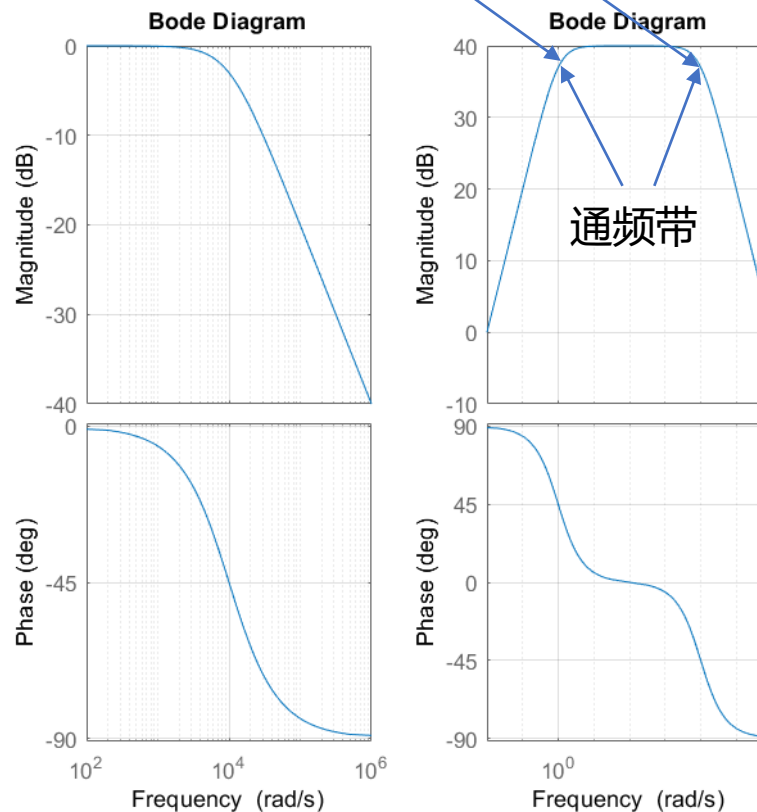
```
clc
clear all
% hpf
num1 = [1 0];
den1 = [1 1];
% lpf
num2 = [1];
den2 = [1e-4 1];
hpf = tf(num1, den1)
lpf = tf(num2, den2)
A = 100;
bpf = A*hpf*lpf;

subplot(1,3,1)
bode(hpf)
grid on;
subplot(1,3,2)
bode(lpf)
grid on;
subplot(1,3,3)
bode(bpf)
grid on;
```



上限截止频率 (低通)

下限截止频率 (高通)



通频带



## 5.5.1 概述

### ✓ 频率失真:

- 幅频失真
- 相频失真

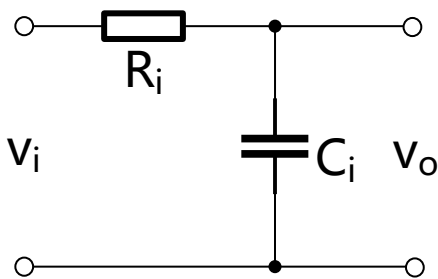
### ✓ 产生原因:

- 放大电路中存在电抗性元件，例如耦合电容、旁路电容、分布电容等
- 三极管的 $\beta(\omega)$ 也是频率的函数，低频小信号模型不再适用

## 5.5.2 RC电路的频率响应

✓ 低通滤波:

- $t f_{LPF} = \frac{v_o}{v_i} = \frac{1}{1+sC_iR_i} = \frac{1}{1+j\frac{f}{f_H}}$
- 幅频 (倍数), 相频 (度数)
- 截止频率处增益为通频带的0.707倍



```
% MATLAB code:
clc
clear all
num = [1];
den = [1 1];
lpf = tf(num, den)
bode(lpf)
grid on;
```

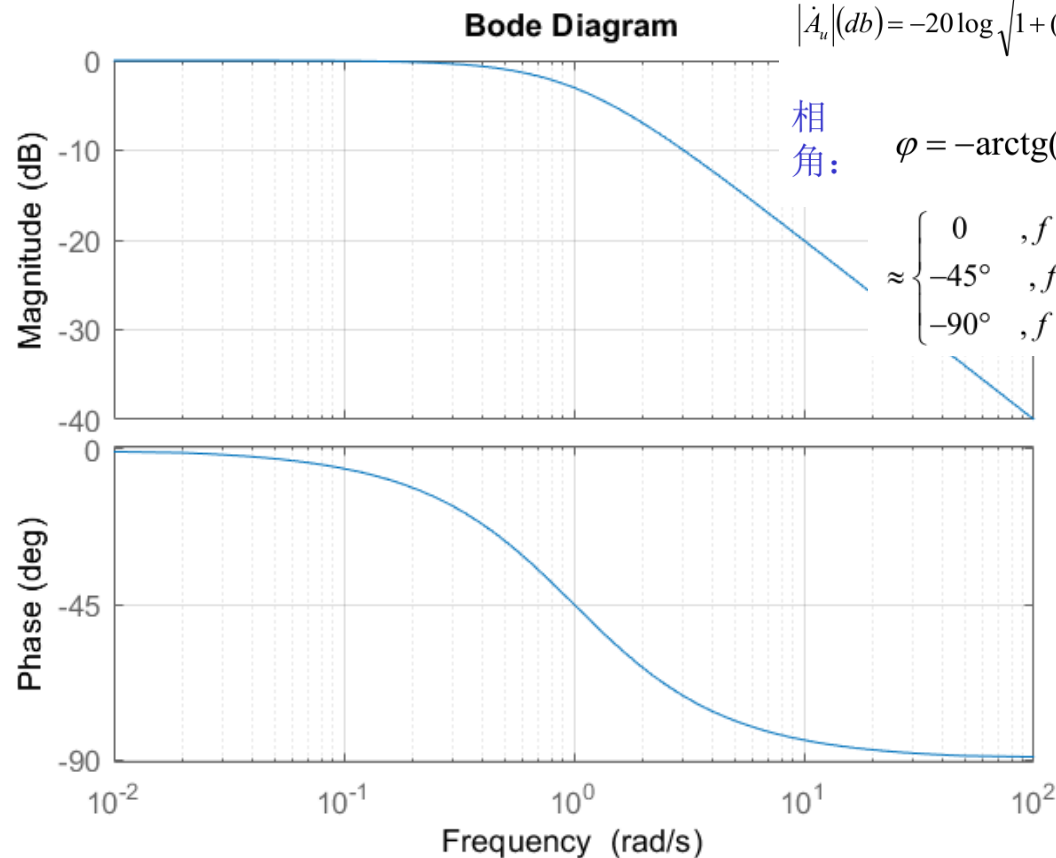
$$f_H = \frac{1}{2\pi RC} = \frac{1}{2\pi\tau}$$

$$\text{模: } |\dot{A}_u| = \frac{1}{\sqrt{1+(f/f_H)^2}}$$

$$|\dot{A}_u|(db) = -20 \log \sqrt{1+(f/f_H)^2}$$

$$\text{相角: } \varphi = -\arctg(f/f_H)$$

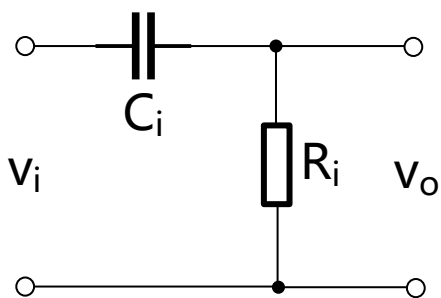
$$\approx \begin{cases} 0 & , f \ll f_H \\ -45^\circ & , f = f_H \\ -90^\circ & , f \gg f_H \end{cases}$$



## 5.5.2 RC电路的频率响应

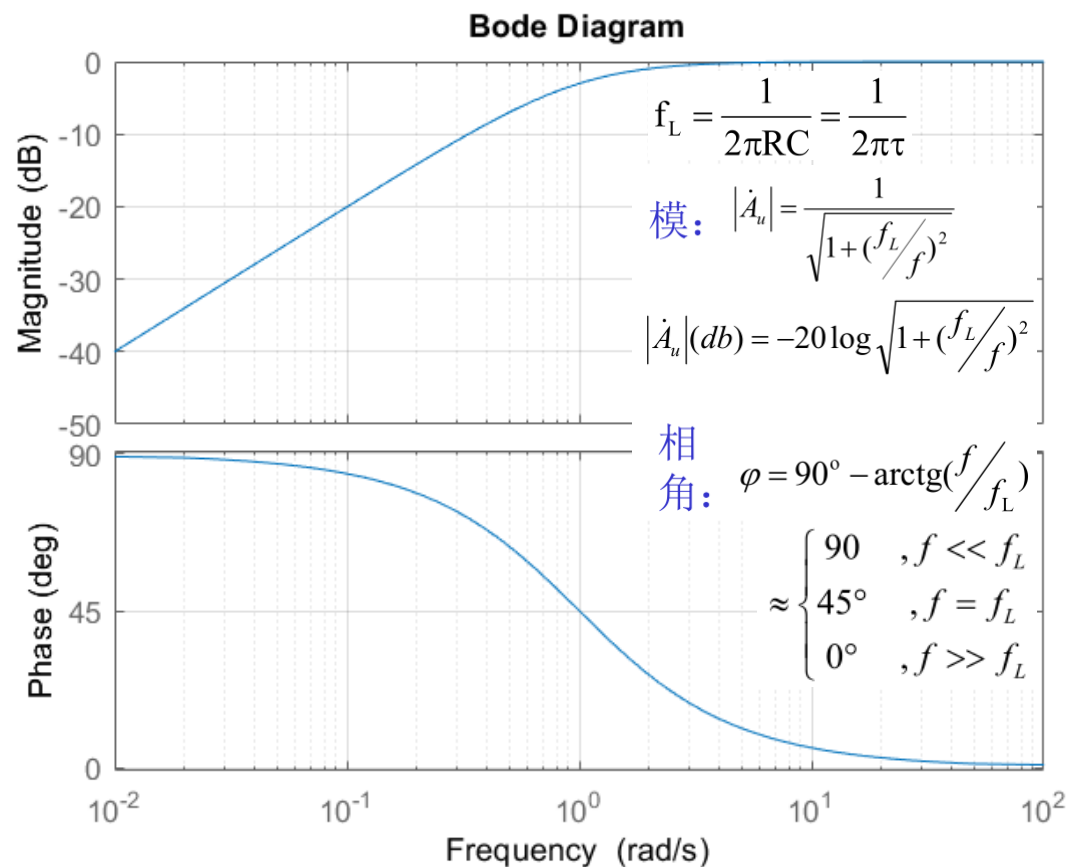
✓ 高通滤波:

- $t f_{HPF} = \frac{v_o}{v_i} = \frac{sC_i R_i}{1+sC_i R_i} = \frac{1}{1-j\frac{f}{f_H}}$
- 幅频 (倍数), 相频 (度数)
- 截止频率处增益为通频带的0.707倍



**% MATLAB code:**

```
clc
clear all
num = [1 0];
den = [1 1];
hpf = tf(num, den)
bode(hpf)
grid on;
```

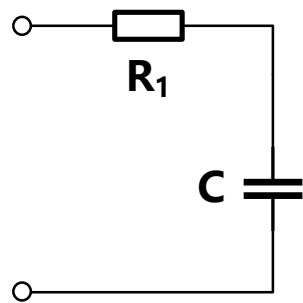




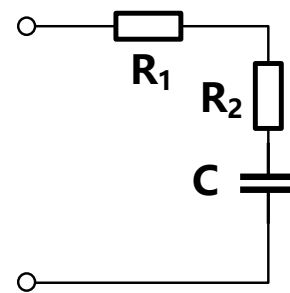
## 5.5.2 RC电路的频率响应

### ✓ 系统传输函数:

- 在复频域S内，系统的输出与输入函数的Laplace变换
- $H(s) = \frac{v_o(s)}{v_i(s)} = A \frac{(s+z_1)(s+z_2)\dots(s+z_m)}{(s+p_1)(s+p_2)\dots(s+p_n)}$ ，零点（分子），极点（分母）
- 系统性能由传递函数确定，即零极点位置（判断左/右半平面）



$$H_1(s) = \frac{v_o(s)}{v_i(s)} = \frac{\frac{1}{sC}}{R_1 + \frac{1}{sC}} = \frac{1}{1 + sCR_1}$$

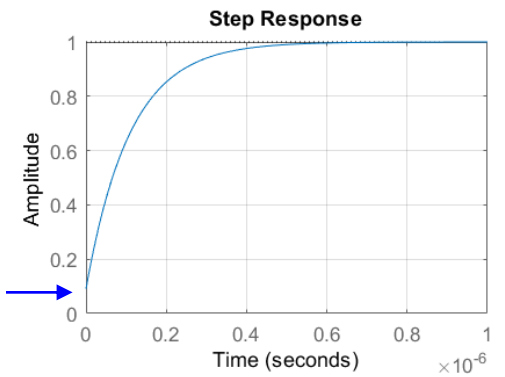
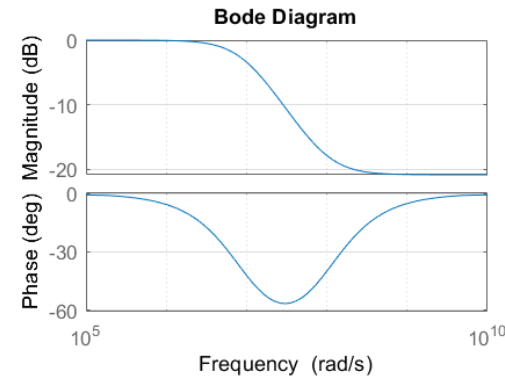
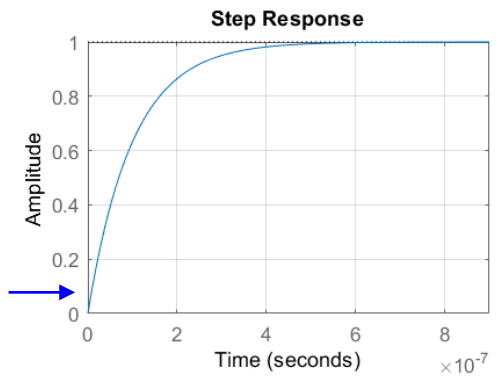
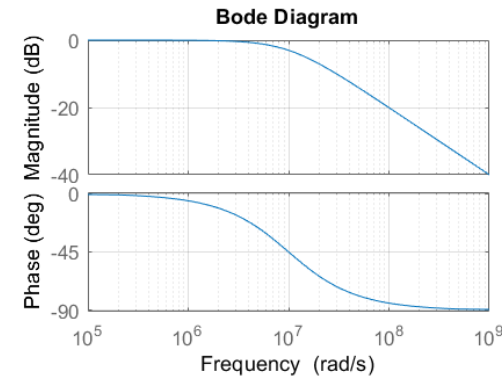


$$H_2(s) = \frac{v_o(s)}{v_i(s)} = \frac{R_2 + \frac{1}{sC}}{R_1 + R_2 + \frac{1}{sC}} = \frac{1 + sCR_2}{1 + sCR_1 + sCR_2}$$

# 5.5.2 RC电路的频率响应

## ✓ 系统传输函数:

### - 频域和时域的对比



```

clc
clear all

c = 1e-12;
r1 = 100e3;
r2 = 10e3;

% lpf
num1 = [1];
den1 = [c*r1 1];

% lpf with zero
num2 = [c*r2 1];
den2 = [c*r1+c*r2 1];

% lpf transfer function
lpf1 = tf(num1 , den1)
lpf2 = tf(num2 , den2)

figure(1)
subplot(2,2,1)
bode(lpf1)
grid on;
subplot(2,2,2)
bode(lpf2)
grid on;

subplot(2,2,3)
step(lpf1)
grid on
subplot(2,2,4)
step(lpf2)
grid on
    
```

## 5.5.2 RC电路的频率响应

### ✓ 开路时间常数法：数学近似

- 运用KCL和KVL计算传递函数的模型准确，但多极点系统非常复杂
- 时间常数法抓住本质，通过近似简化模型，利于手算
- 用于估算上限截止频率 $f_H$

$$H(s) = \frac{v_o(s)}{v_i(s)} = A \frac{1}{(s+p_1)(s+p_2)\dots(s+p_n)} = A \frac{1}{(\tau_1 s+1)(\tau_2 s+1)\dots(\tau_n s+1)}$$

- 两个极点的系统为例（ $\tau_1$ 与 $\tau_2$ 相差大，即 $\tau_1$ 主极点， $\tau_2$ 次极点，均远小于1）

$$H(s) = \frac{A}{(\tau_1 s+1)(\tau_2 s+1)} = \frac{A}{\tau_1 \tau_2 s^2 + (\tau_1 + \tau_2)s + 1} \approx \frac{A}{(\tau_1 + \tau_2)s + 1}$$



## 5.5.2 RC电路的频率响应

### ✓ 开路时间常数法：计算步骤

- 计算每个电容两端的等效电阻（其他电容开路）
- 每个电容乘以其两端的等效电阻，得到对应时间常数 $\tau_i$
- 将每一个 $\tau_i$ 求和，估算上限截止频率 $\omega_H$

$$H(s) = \frac{A}{(\tau_1 s + 1)(\tau_2 s + 1) \dots (\tau_n s + 1)} \approx \frac{A}{(\tau_1 + \tau_2 \dots + \tau_n)s + 1}$$

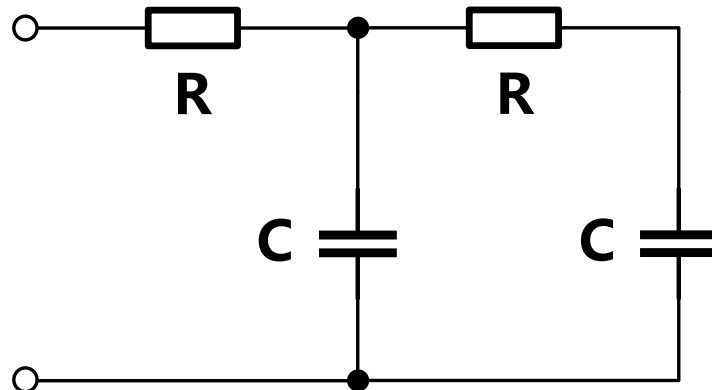
$$\omega_H = \frac{1}{\tau_1 + \tau_2 \dots + \tau_n}$$

## 5.5.2 RC电路的频率响应

✓ 开路时间常数法：计算实例1， $R=1\text{e}6\Omega$ ， $C=1\text{e}-12\text{F}$

- 仿真：-3dB频率60kHz

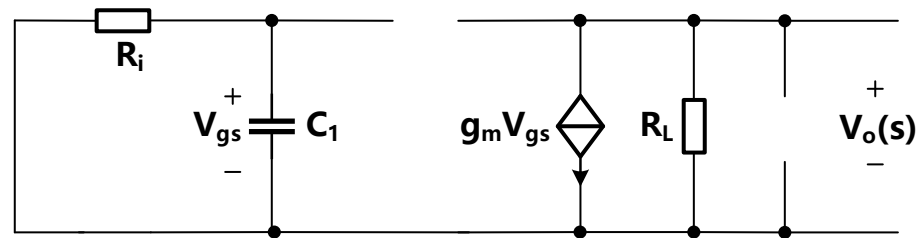
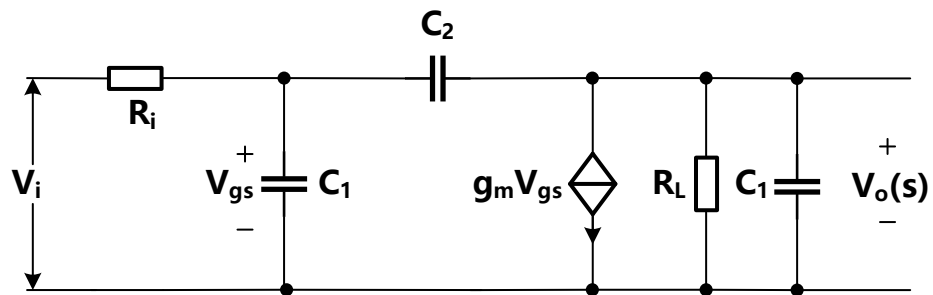
- 计算： $\frac{1}{2\pi(RC+2RC)} \approx 53\text{kHz}$



## 5.5.2 RC电路的频率响应

### ✓ 开路时间常数法：计算实例2

-  $C_1$ :  $\tau_1 = R_i C_1$



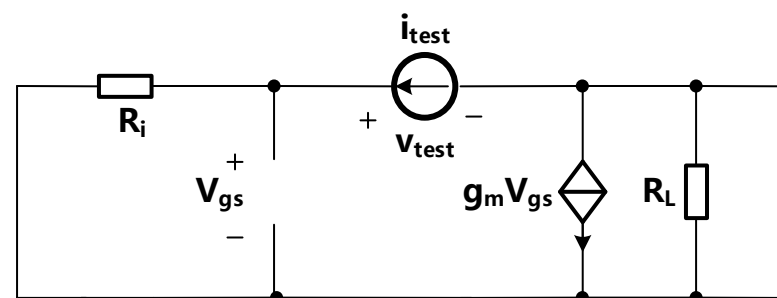
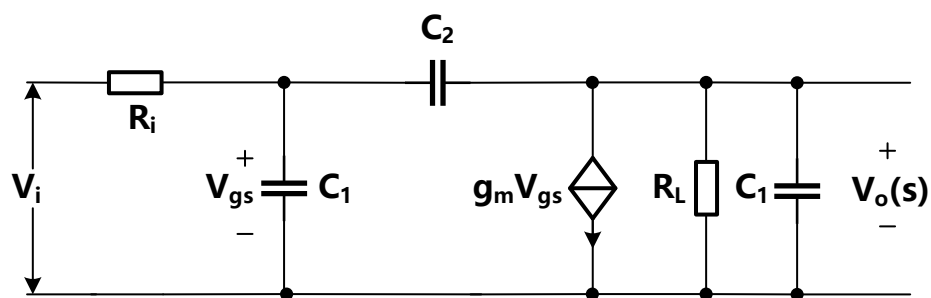
## 5.5.2 RC电路的频率响应

### ✓ 开路时间常数法：计算实例2

- **C<sub>1</sub>**:  $\tau_1 = R_i C_1$

- **C<sub>2</sub>**:  $R_2 = \frac{v_{gs} + R_L(g_m v_{gs} + i_{test})}{i_{test}} = \frac{i_{test} R_i + R_L(g_m i_{test} R_i + i_{test})}{i_{test}} = R_i + R_L + g_m R_L R_i$

$$\tau_2 = (R_i + R_L + g_m R_L R_i) C_2$$



- **C<sub>3</sub>**:  $\tau_3 = R_L C_3$



## 5.5.2 RC电路的频率响应

### ✓ 开路时间常数法:

- 近似算法, 只关注极点
- 分析的电路需要有主极点 (实际大多数电路确实如此)
- 近似结果较保守





## 5.5.2 RC电路的频率响应

- ✓ **短路时间常数法：**用于估算下限截止频率 $f_L$ 
  - 将电路中起低频带宽限制作用的所有电容进行短路处理
  - 逐步求解每个电容两端看入的等效电阻
  - 将得到的每个电容的时间常数求和，即得到 $f_L$

## 5.5.3 三极管的高频参数

### ✓ 密勒效应:

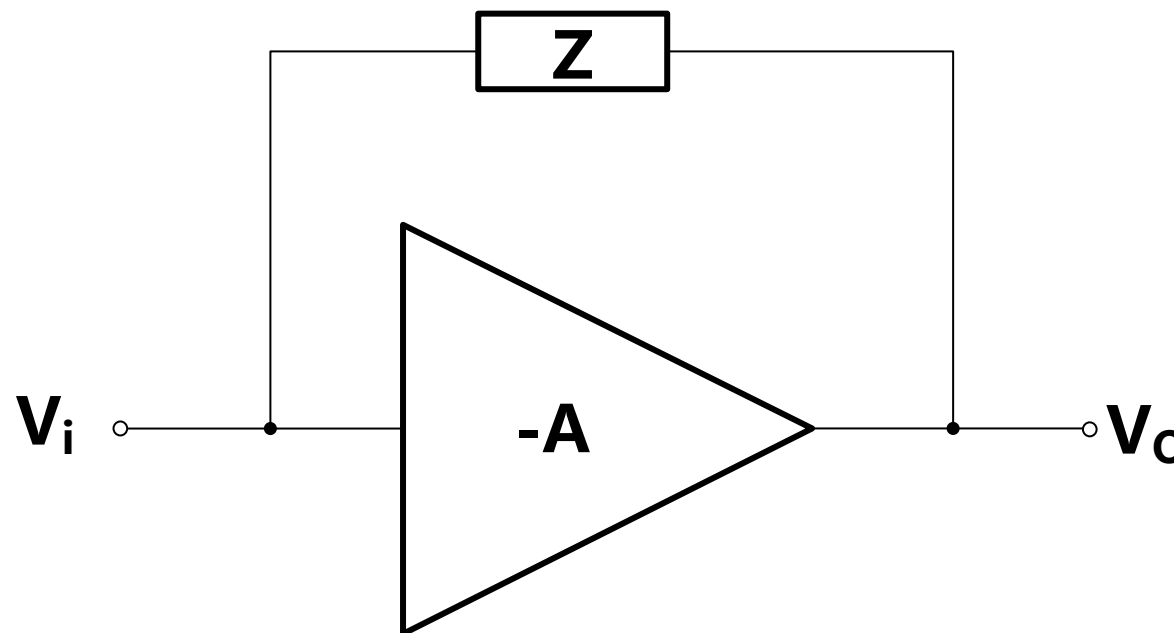
- 负反馈回路中的反馈电容，其等效输入电容因负反馈而增大的现象

$$I_i = \frac{V_i - V_o}{Z} = \frac{V_i(1+A)}{Z}$$

$$Z_{in} = \frac{V_i}{I_i} = \frac{Z}{1+A}$$

如果Z为电容,  $Z = \frac{1}{sC}$

$$Z_{in} = \frac{V_i}{I_i} = \frac{\frac{1}{sC}}{1+A} = \frac{1}{sC(1+A)}$$



## 5.5.3 三极管的高频参数

### ✓ 密勒效应:

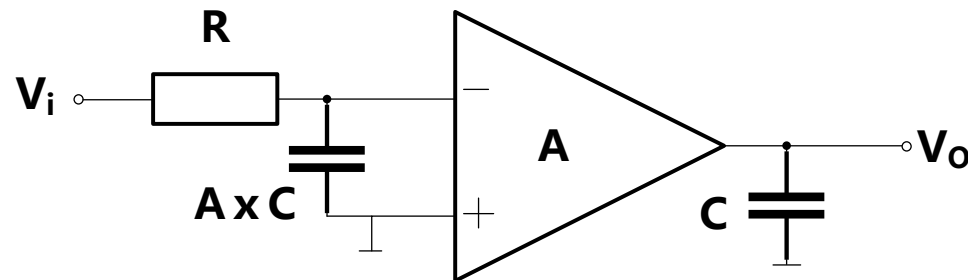
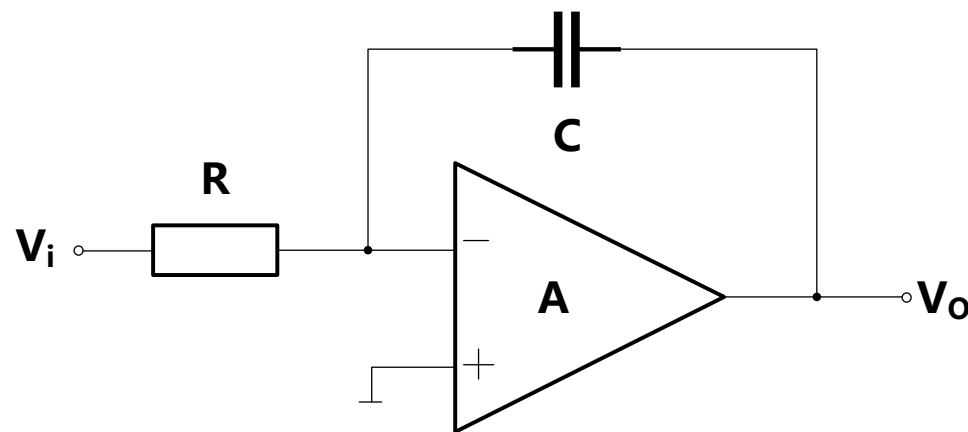
- 计算积分器的传输函数

$$\frac{V_i - V_-}{R} \times \frac{1}{sC} = V_o, \quad v_- \times A = v_o$$

➡ 
$$\frac{V_o}{V_i} = \frac{A}{1 + sCR \times A}$$

- 运用密勒效应计算

$$\frac{V_o}{V_i} = \frac{A}{1 + sCR \times A}$$



## 5.5.3 三极管的高频参数

### ✓ 密勒定理：

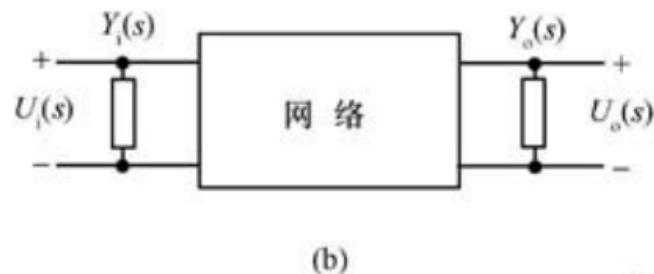
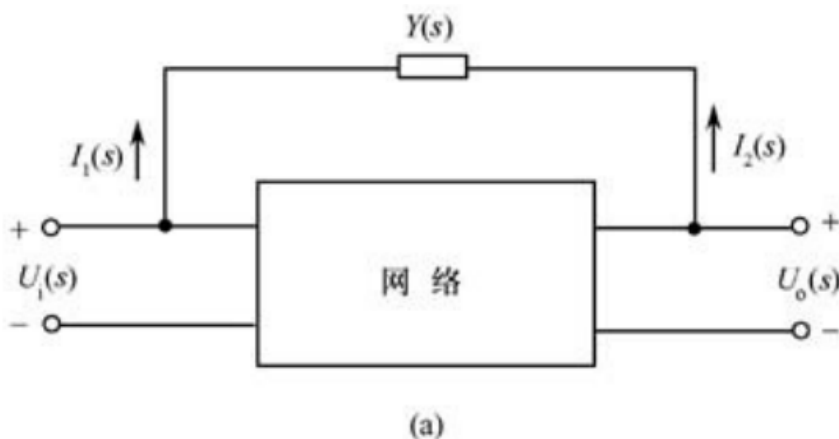
- 二端口网络的反馈阻抗可以用各自端口对地的阻抗来等效

$$I_1(s) = Y(s) \cdot [U_i(s) - U_o(s)] = U_i(s) \cdot Y(s)[1 - A_u(s)]$$

$$Y_i(s) = Y(s) \cdot [1 - A_u(s)]$$

$$I_2(s) = Y(s) \cdot [U_o(s) - U_i(s)] = U_o(s) \cdot Y(s)[1 - \frac{1}{A_u(s)}]$$

$$Y_o(s) = Y(s) \cdot [1 - \frac{1}{A_u(s)}]$$



## 5.5.3 三极管的高频参数

✓ 混合  $\pi$  型高频小信号模型:

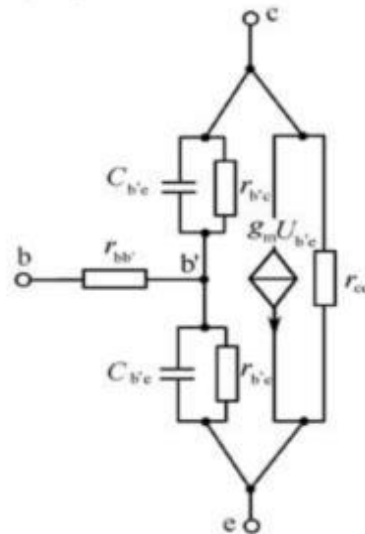
- 等效电路
- 参数计算

$$r_{b'e} = (1 + \beta_o) \frac{26mV}{I_E(mA)}$$

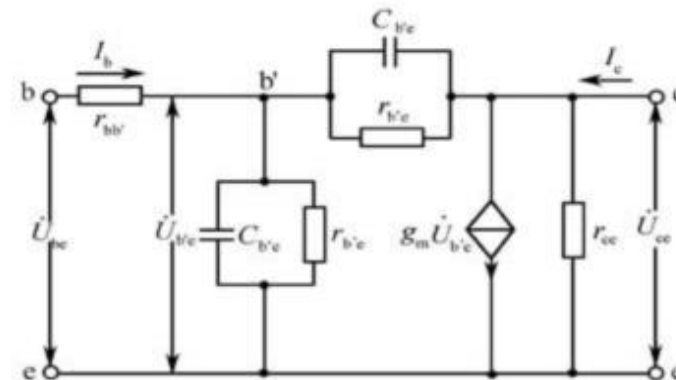
$$g_m \approx \frac{\beta_o}{r_{b'e}} = \frac{I_{EQ}(mA)}{26mV} = 38.5 I_{EQ}(mS)$$

✓ 三极管手册中给出  $C_{b'c}$  和  $f_T$ ,

$$C_{b'e} \approx \frac{g_m}{2\pi f_T}$$



(a) 三极管的物理模拟电路



(b) 混合  $\pi$  型

简化:

忽略  $r_{b'c}$ 、 $r_{ce}$

忽略  $C_{b'c}$ 、 $C_{b'e}$

